

# III-42 岩石の亀裂伝播解析

同組技術研究所 正員 ○草 深守人  
 埼玉大学 正員 游島良吉  
 法政大学 正員 山下清明

## 1. まえがき

岩盤は通常、亀裂、節理等を含む。これら多亀裂、多節理系岩盤の力学的挙動を明らかにすることが重要である。本研究ではこのうち多亀裂性岩盤の亀裂伝播解析方法について述べる。

## 2. 解析方法及び構成式

解析方法は剛体ベネモデルを用い初期応力法に基づいた塑性解析を行う。

構成式に関するドラッカーポラーガー修正した値を使用したが、これはワーロンの摩擦則から得られるせん断破壊における構成式と一致する。ただし引張破壊に対して一部修正を要する。

ドラッカーポラーガーの構成式は次式で与えられる。

$$f = \alpha J_1 + J_2 - K = 0 \quad \dots (1)$$

$$\text{ここで平面ひずみ状態に対して } \bar{\sigma}_z = \bar{\tau}_{yz} = \bar{\tau}_{xz} = 0 \quad (\text{乙軸を厚さ方向とする}) \quad \dots (2)$$

また剛体ベネモデル要素は要素境界辺方向(y軸方向)の伸びが零であることから associated-flow-rule を仮定し、

$$\frac{\partial f}{\partial \bar{\sigma}_y} = 0 \quad \dots (3)$$

式(1), (2), (3)より次式が得られる。

$$\frac{\left(\bar{\sigma}_x + \frac{6\alpha K}{1-12\alpha^2}\right)^2}{4K^2/(1-3\alpha^2)} + \frac{\bar{\tau}_{xy}^2}{\frac{K^2}{1-12\alpha^2}} = 1 \quad \dots (4)$$

ここで定数  $\alpha$ ,  $K$  は平面ひずみ状態におけるモールワーロンの直線式の対応から

$$\alpha = \tan \phi / \sqrt{9 + 12 \tan^2 \phi}, \quad K = 3c / \sqrt{9 + 12 \tan^2 \phi} \quad \dots (5)$$

で与えられる。

ここで  $c$ ,  $\phi$  は粘着力及ぶ内部摩擦角である。これらは一軸圧縮試験及び圧裂試験から次式で与えられる。

$$c = \frac{|\sigma_c|}{2\sqrt{m-3}}, \quad \phi = \sin^{-1} \left( \frac{m-4}{m-2} \right), \quad m = |\frac{\sigma_c}{\sigma_t}| \quad \dots (6)$$

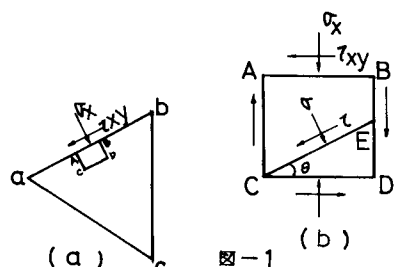
$\sigma_c$ : 一軸圧縮強度,  $\sigma_t$ : 圧裂試験による引張強度。

式(4)に橋円を表わす式(5), (6)を代入すると(これより)  $\bar{\tau}_{xy}=0$  となりて  $\bar{\sigma}_x = \sigma_c$  を通るこことを証明することができる。

次に式(4)をワーロンの摩擦則から導くことを示す。

今、図-1a に示されるように剛体要素 abc の辺 ab 上の応力を  $\bar{\sigma}_x, \bar{\tau}_{xy}$  とする。図-1b に示されるように CD 面と角頂をなす面上の応力を  $\bar{\sigma}_x, \bar{\tau}_{xy}$  とする。

$$\begin{bmatrix} \bar{\sigma}_x \\ \bar{\tau}_{xy} \end{bmatrix} = \begin{bmatrix} (1+\cos 2\theta)/2 & -\sin 2\theta \\ \frac{1}{2}\sin 2\theta & \cos 2\theta \end{bmatrix} \begin{bmatrix} \bar{\sigma}_x \\ \bar{\tau}_{xy} \end{bmatrix} \quad \dots (7)$$



### (a) せん断による破壊

7-コンの摩擦則によれば、せん断破壊は次式で示された有効せん断応力  $T_{eff}$  が最大となるとき  $\theta = \alpha$  の面に発生する。

$$T_{eff} = T_x - \sigma_x \tan \phi \quad \dots (8)$$

ここで  $T_x$ ,  $\sigma_x$  は  $\theta = \alpha$  の面における応力である。式(8)に式(7)の  $T$ ,  $\alpha$  を代入し,  $dT_{eff}/d\alpha = 0$  より

$$\tan 2\alpha = (\sigma_x + 2T_{xy} \tan \phi) / (2T_{xy} - \sigma_x \tan \phi) \quad \dots (9)$$

これより  $T_x$ ,  $\sigma_x$  は式(9)を式(7)に代入すればより得られる。 $\theta = \alpha$  の面におけるせん断破壊基準は

$$T_x = C + \sigma_x \tan \phi \quad \dots (10)$$

と表わされ、上式に  $T_x$ ,  $\sigma_x$  を代入すればより次の式が得られる。

$$T_{xy} = \frac{1}{2} \left[ (2C + \sigma_x \tan \phi)^2 / (1 + \tan^2 \phi) - \sigma_x^2 \right]^{1/2} \quad \dots (11)$$

7-コンの摩擦則によるせん断破壊に対する構成式は式(11)のようになり、これは式(9)で表わされた構成式と完全に一致することを証明することができた。

### (b) 引張による破壊

引張による破壊は最大主応力の規則に基づき、最小主応力の材料の引張強度  $\sigma_t$  と連絡して発生すると考えられる。 $\sigma_3 = \sigma_t$   $\dots (12)$

式(7)より  $d\sigma/d\theta = 0$  から

$$\tan 2\theta = -2T_{xy} / \sigma_x \quad \dots (13)$$

式(13)を式(7)に代入すれば

$$\sigma_1 = \frac{1}{2} [\sigma_x + (\sigma_x^2 + 4T_{xy}^2)^{1/2}], \quad \sigma_3 = \frac{1}{2} [\sigma_x - (\sigma_x^2 + 4T_{xy}^2)^{1/2}] \quad \dots (14)$$

ここで圧縮を正、引張を負とする (引張)  $\sigma_1 > 0$ ,  $\sigma_3 < 0$  (引張)  $\sigma_1 < 0$  となり、上式より式から

$$T_{xy}^2 = \sigma_3^2 - \sigma_1 \cdot \sigma_3 = \sigma_t (\sigma_t - \sigma_x) \quad \dots (15)$$

式(15)が引張破壊に対する構成式であり、図-2において破線で示される。これよりせん断破壊による構成式(11)が引張破壊に対する構成式

(15)の反対 A の右側部分におけることは式(15)を、又 Aより左側部分では式(11)を用いることが必要である。

初期応力法の解析においては Aより左側において、半曲線 (a) 上において収束させ、次にこれを曲線 (b) 上へ収束させることで“必要”である。

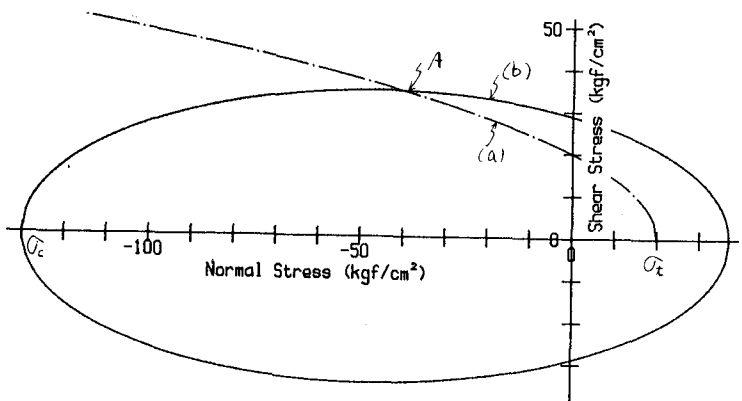


図-2 障伏曲面